

## ГЕОМЕТРИЯ ОПТИМАЛЬНЫХ УДАРНО-ВОЛНОВЫХ СИСТЕМ

УДК 533.6.011.72

А. В. Омельченко, В. Н. Усков

Балтийский государственный технический университет,  
198005 Санкт-Петербург

Понятие оптимальных ударно-волновых систем, состоящих из нескольких плоских косых скачков уплотнения и замыкающего прямого скачка, было введено в конце 40-х годов в работах Г. И. Петрова и Е. П. Ухова [1], а также К. Осватича (библиография в [2]). Численно [1] и аналитически [2] определены интенсивности косых скачков, при которых достигаются максимальные значения коэффициентов восстановления статических и полных давлений в системе.

Подробный теоретический анализ оптимальных систем проведен в [3]. В развитие [3] в данной работе исследована геометрия тел, обтекание которых приводит к образованию оптимальных ударно-волновых систем. Приводятся строгие аналитические решения, определяющие углы поворота потока в оптимальных системах, в которых имеются экстремумы не только коэффициентов восстановления давлений, но и величин скоростного напора и плотности. Особое внимание уделяется анализу оптимальных многоскаковых систем при больших числах Маха.

Полученные решения носят не только теоретический, но и прикладной характер и могут быть использованы при газодинамическом проектировании сверхзвуковых воздухозаборников, аппаратов струйных технологий и других технических объектов.

1. Рассматривается плоский сверхзвуковой поток совершенного невязкого газа, проходящий систему  $S_n$  из  $n$  волн (ударных или изоэнтропных). Множество газодинамических переменных  $F = \{p, \rho, T, \rho v^2, p_0, \rho_0, T_0\}$ , характеризующее невозмущенный поток, в системе  $S_n$  преобразуется в соответствующее множество  $F_n$  газодинамических переменных за  $S_n$ .

Состояние потока за системой часто [1–5] характеризуется коэффициентами восстановления  $K_n^{(f)}$  газодинамических переменных, представляющих собой отношение элементов множества  $F_n$  к соответствующим параметрам торможения невозмущенного потока.

В [3] показано, что при заданных показателе адиабаты  $\gamma$  и числе Маха  $M$  невозмущенного потока любой из коэффициентов восстановления может быть выражен через отношение статических давлений  $J_s \equiv p_n/p$  до и за системой, часто называемое интенсивностью системы.

Легко видеть, что величина  $J_s$  равна произведению интенсивностей  $J_k = p_k/p_{k-1}$  всех входящих в систему волн. Следовательно, для любого  $f \in F$  величина  $K_n^{(f)}$  представляет собой функцию  $n$  переменных — интенсивностей волн  $J_k$ .

Проведенный в [1–3] анализ показал, что некоторые из функций  $K_n^{(f)}$  ведут себя немонотонно, достигая экстремума при определенных значениях  $J_k^{(f)}$ . Ударно-волновые системы с интенсивностями  $J_k^{(f)}$  называются оптимальными для переменных  $f$ .

Свойства потока за оптимальной ударно-волной системой существенно зависят от интенсивности замыкающего скачка  $\sigma$ . Обычно он выделяется особо, и оптимальная система с замыкающим скачком обозначается  $S_{n,\sigma}$ .

В некоторых системах тип замыкающего скачка уплотнения может быть выбран на основе анализа на экстремум тривиальных ударно-волновых систем [3], содержащих толь-

ко одну замыкающую волну ( $n = 0$ ). В [3] доказано, что для  $f = p$  или  $f = \rho$  замыкающий скачок является прямым ( $\sigma = m$ ) и имеет интенсивность  $J_m = (1 + \varepsilon)M^2 - \varepsilon$ ,  $\varepsilon = (\gamma - 1)/(\gamma + 1)$ . Максимальное значение скоростного напора ( $f = \rho v^2 \equiv d$ ) достигается в системе со слабым ( $\sigma = \alpha$ ) замыкающим разрывом ( $J_\alpha = 1$ ).

В некоторых технических устройствах необходимо преобразовать сверхзвуковой поток в дозвуковой с минимальными потерями полного давления, т. е. решить задачу

$$K_{n,\sigma}^{(p_0)} \rightarrow \max_{M_{n,\sigma} \leq 1}, \quad (1.1)$$

где  $M_{n,\sigma}$  — число Маха за системой  $S_{n,\sigma}$ .

Начиная с работ [1, 2], оптимальные для  $f = p_0$  системы рассматриваются с замыкающим прямым скачком уплотнения ( $S_{n,m}^{(p_0)}$ ).

Очевидно, что условие  $M_{n,\sigma} \leq 1$  может обеспечить и косой скачок уплотнения с интенсивностью из диапазона  $[J_*(M), J_m(M)]$ , где величина  $J_*(M)$  соответствует скачку, за которым скорость газа равна скорости звука [4]:

$$J_* = \frac{\mu - 1}{2\varepsilon} + \sqrt{\left(\frac{\mu - 1}{2\varepsilon}\right)^2 + \mu}, \quad \mu = 1 + \varepsilon(M^2 - 1). \quad (1.2)$$

В системе  $S_{n,\sigma}$  потери полного давления тем меньше, чем меньше значение интенсивности замыкающего скачка уплотнения, поэтому для выполнения (1.1) целесообразно использовать систему  $S_{n,*}$ , в которой замыкающий скачок уплотнения имеет интенсивность  $J_\sigma = J_*$  (1.2).

Значения интенсивностей оптимальных волн, выбранные на основе анализа экстремальных значений переменных  $f$ , определяют углы  $\beta$  поворота потока в системе, а следовательно, и геометрию оптимального (для  $f$ ) тела.

В данной работе проводится анализ углов поворота потока в оптимальных для переменных  $f$  ударно-волновых системах при различных типах замыкающего скачка уплотнения. Особое внимание уделяется течениям с большими числами Маха.

**2. Анализ** [3] оптимальных систем ударных волн показал, что максимальные значения исследуемых функций достигаются в системах, состоящих из простой изоэнтропной волны  $i$  и замыкающего скачка уплотнения  $\sigma$ .

Интенсивности  $J_i^{(f)}$  оптимальных изоэнтропных волн в потоке с заданным значением  $M$  должны быть такими, чтобы обеспечить особые числа Маха  $M_f$  перед замыкающим скачком уплотнения:  $M_1 = M_f$ .

В случаях  $f = d$  и  $f = \rho$  величина  $M_d = M_\rho = \sqrt{2}$ , а замыкающий скачок является слабым разрывом ( $J_\sigma = 1$ ) для  $f = d$  и прямым скачком для  $f = \rho$ . Для переменной  $p$  имеем  $M_p = \sqrt{(2 - \varepsilon)/(1 - \varepsilon)}$  и  $J_\sigma = J_m(M_p)$ , а для  $p_0$  выполняется  $M_{p_0} = 1$  и  $J_\sigma = 1$ .

Угол поворота потока на оптимальной изоэнтропной волне определяется по формуле

$$\beta_{s,\sigma} = \omega(M) - \omega(M_f), \quad (2.1)$$

где  $\omega(M)$  — функция Прандтля — Майера.

Поскольку углы поворота на слабом разрыве и на прямом скачке уплотнения равны нулю, то на оптимальных для скоростного напора и плотности системах  $S_{1,\alpha}^{(d)}$  и  $S_{1,m}^{(\rho)}$  углы поворота потока равны и рассчитываются по формуле (2.1) при  $M_f = \sqrt{2}$  (кривая 1 на рис. 1; здесь и далее все расчеты выполнены для  $\gamma = 1,4$ ).

В оптимальной для статического давления системе суммарный угол поворота потока также совпадает с углом поворота потока на изоэнтропной волне и определяется из (2.1) при  $M = M_p$  (зависимости  $\beta(M)$ , отвечающие оптимальным для статического давления системам, слабо отличаются от аналогичных функций, построенных для скоростного

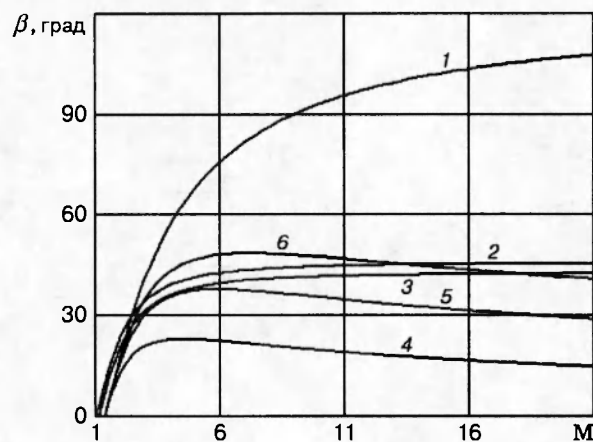


Рис. 1

напора и плотности, и потому отдельно не приводятся).

В случае  $f = p_0$  оптимальной системой является волна сжатия со скоростью течения за ней, равной скорости звука. Следовательно, в такой системе интенсивности замыкающего звукового и прямого скачков уплотнения равны единице. Угол поворота потока в системах  $S_{1,*}^{(p_0)}$  и  $\tilde{S}_{1,\infty}^{(p_0)}$  также определяется из (2.1) при условии  $M_{p_0} = 1$  (кривая 1 на рис. 2, а; фрагмент, отмеченный пунктирной линией на рис. 2, б, дается в увеличенном масштабе на рис. 2, б).

Как видно из рис. 1, 2, углы поворота монотонно возрастают от нуля до предельного ( $M \rightarrow \infty$ ) значения

$$\beta_{\lim} = \frac{\pi}{2} \frac{1 - \sqrt{\varepsilon}}{\sqrt{\varepsilon}} - \omega(M_f). \quad (2.2)$$

При больших числах Маха набегающего потока углы поворота потока в волне сжатия мало отличаются от предельного значения (2.2).

Начиная с некоторого числа Маха  $M_r^{(j)}$  (см. таблицу), угол  $\beta_{s,\sigma}$  превышает предельный угол  $\beta_l$  поворота потока на косом скачке уплотнения, который рассчитывается по

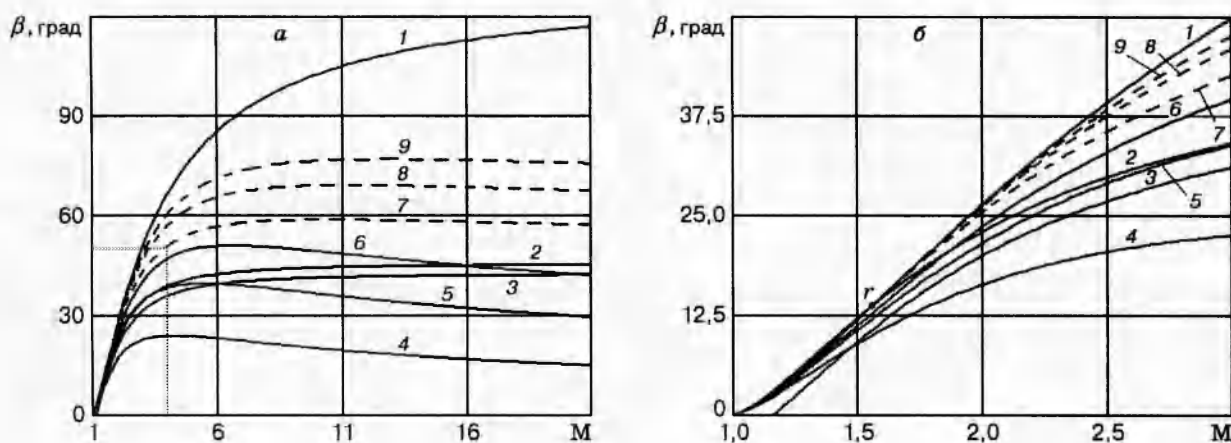


Рис. 2

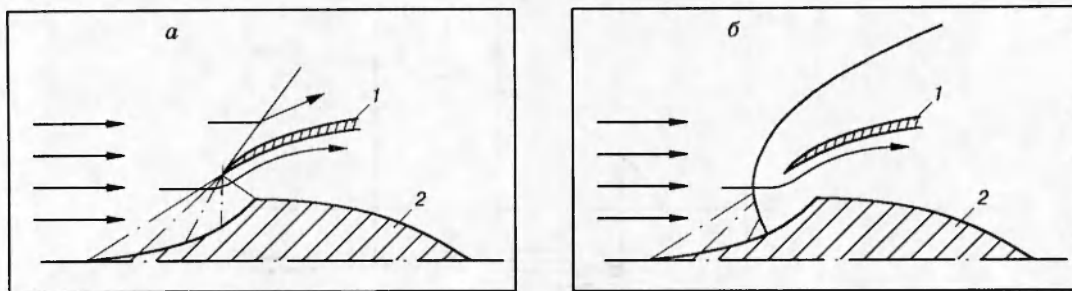


Рис. 3

зависимостям [4]

$$J_l = \frac{\mu - (1 + \varepsilon)}{2\varepsilon} + \sqrt{\left(\frac{\mu - (1 + \varepsilon)}{2\varepsilon}\right)^2 + \frac{\mu(1 + 2\varepsilon) - 1}{\varepsilon}},$$

$$\beta_l = \arctg \left[ \sqrt{\frac{J_l - 1}{J_l + \varepsilon}} \frac{(1 + \varepsilon) + (J_l + \varepsilon)}{1 + \varepsilon J_l} \frac{(1 - \varepsilon)(J_l - 1)}{2(J_l + \varepsilon)} \right].$$

Данное обстоятельство ограничивает возможность использования систем с изоэнтропными волнами в реальных технических объектах. В частности, в сверхзвуковых входных диффузорах с внешним сжатием это ограничение связано с наличием обечайки [5] (рис. 3). Обычно считается, что внутренняя стенка обечайки должна быть ориентирована по направлению потока за замыкающим скачком уплотнения  $\sigma$ . Если предположить, что угол поворота потока во входном канале плоского диффузора (между обечайкой 1 и центральным телом 2) совпадает с углом наклона внешней стороны обечайки (т. е. предположить, что угол  $\beta_\omega$  между внутренней и внешней сторонами обечайки стремится к нулю (рис. 3, а)), то на суммарный угол поворота потока  $\beta_{s,\sigma}$  в системе необходимо наложить ограничение

$$\beta_{s,\sigma} < \beta_l(M). \quad (2.3)$$

В реальных диффузорах  $\beta_\omega = 3 \div 5^\circ$ , поэтому ограничение на угол  $\beta_{s,\sigma}$  является более жестким:

$$\beta_{s,\sigma} < \beta_l(M) - \beta_\omega. \quad (2.4)$$

При невыполнении (2.4) перед обечайкой образуется отошедшая криволинейная ударная волна (рис. 3, б), что приводит к ухудшению газодинамических характеристик входного диффузора.

Ограничения (2.3) и (2.4) показаны на рис. 1, 2 (кривые 2 и 3 соответственно). Эти кривые имеют точки пересечения с кривой 1 (точка  $r$  на рис. 2, б). Отвечающие этим точкам значения  $M_{\gamma}^{(f)}$  служат верхними границами существования оптимальных систем с изоэнтропными волнами.

Поскольку числа Маха  $M_{\gamma}^{(f)}$  относительно невелики (см. таблицу), то при гиперзвуковых скоростях невозмущенного потока организовать оптимальные системы с изоэнтропными волнами технически трудно.

Параметры	$M_r^{(p)}$	$M_r^{(d)}$	$M_r^{(p_0)}$	$M_\beta^{(d)}$	$M_\beta^{(p)}$	$M_y^{(1)}$	$M_g^{(2)}$	$M_g^{(3)}$	$M_g^{(4)}$
$M$	2,66	2,51	1,56	4,62	4,73	1,87	6,63	15,78	20,49
$J_l$	6,14	5,31	2,10	7,58	7,65	1,42	4,95	10,36	12,57

3. В системах  $S_{n,\sigma}$  с косыми скачками уплотнения максимальные значения переменных  $f$  достигаются, если интенсивности первых  $n$  скачков равны между собой ( $J_1 = J_2 = \dots = J_n \equiv J$ ) [2, 3]. Значения  $J^{(d)}$  и  $J^{(\rho)}$ , обеспечивающие максимальные величины коэффициентов  $K_{n,\alpha}^{(d)}$  и  $K_{n,m}^{(\rho)}$ , определяются по формуле

$$\mu = \frac{J^{n-1}(1 + \varepsilon J)^{n+1}}{(J + \varepsilon)^{n-1}(1 + \varepsilon)}, \quad (3.1)$$

а интенсивности  $J^{(p)}$ , приводящие к максимуму функции  $K_{n,m}^{(p)}$ , — по формуле

$$\mu = \frac{J^{n-1}(1 + \varepsilon J)^{n+1}}{(J + \varepsilon)^{n-1}(1 + \varepsilon)(1 - \varepsilon^2)}. \quad (3.2)$$

Коэффициент восстановления полного давления в системе  $S_{n,m}^{(p_0)}$  достигает экстремума при интенсивностях  $J^{(p_0)}$ , которые находятся из уравнения

$$\mu = A \frac{J^{n-1}(1 + \varepsilon J)^n}{(J + \varepsilon)^n} [J^2 + 2BJ + 1 + (J - 1)\sqrt{J^2 + 2CJ + 1}], \quad (3.3)$$

где  $A = \varepsilon(2 + \varepsilon)/4(1 + \varepsilon)^2$ ;  $B = (\varepsilon^2 + 2\varepsilon + 2)/\varepsilon(2 + \varepsilon)$ ;  $C = \varepsilon(3\varepsilon + 4)/(2 + \varepsilon)^2$ .

В перечисленных системах интенсивность  $J_\sigma$  замыкающего скачка  $\sigma$  отличается от  $J^{(f)}$ , и только в оптимальной системе  $S_{n,*}^{(p_0)}$  интенсивности всех скачков, включая замыкающий звуковой скачок, равны и определяются явно по формуле

$$J_1 = J_2 = \dots = J_{n+1} = \frac{\alpha - 1}{2\varepsilon} + \sqrt{\left(\frac{\alpha - 1}{2\varepsilon}\right)^2 + \alpha}, \quad \alpha = \mu^{1/(1+n)}. \quad (3.4)$$

Зная число Маха набегающего потока и определив из (3.1)–(3.4) значения интенсивностей входящих в систему волн, несложно рассчитать углы поворота потока в оптимальной для переменной  $f$  системе.

4. Углы поворота потока в оптимальных системах, состоящих из одного косого скачка и замыкающего скачка, приведены на рис. 1, 2 (кривые 4). В отличие от оптимальных систем с изоэнтропными волнами, углы поворота в рассматриваемых системах ведут себя немонотонно при изменении  $M$  и имеют максимум при  $M = M_\beta^{(f)}$ . Если  $M > M_\beta^{(f)}$ , то углы уменьшаются с ростом  $M$  и стремятся к постоянной величине при  $M \rightarrow \infty$ .

Несложный анализ показывает, что в оптимальных системах  $S_{1,\alpha}^{(d)}$  и  $S_{1,m}^{(\rho)}$  (кривая 4 на рис. 1) максимальное значение угла  $\beta^{(d)} = \beta^{(\rho)}$  достигается при интенсивности косого скачка

$$\beta_\beta^{(d)} = \beta_\beta^{(\rho)} = \frac{\sqrt{\varepsilon} + (1 + \varepsilon) + (1 + \sqrt{\varepsilon})\sqrt{1 + \varepsilon}}{\sqrt{\varepsilon}},$$

а для оптимальной системы  $S_{1,m}^{(p)}$  максимуму угла поворота потока соответствует

$$\beta_\beta^{(p)} = \frac{\sqrt{\varepsilon}(4 + \varepsilon - \varepsilon^2) + (1 + \varepsilon)\sqrt{(4 - \varepsilon^2)(4 - \varepsilon)}}{2\sqrt{\varepsilon}}.$$

Значения  $M_\beta^{(d)}$  и  $M_\beta^{(p)}$  приведены в таблице.

При  $M \rightarrow \infty$  углы поворота потока в оптимальных системах  $S_{1,\alpha}^{(d)}$ ,  $S_{1,m}^{(\rho)}$  и  $S_{1,m}^{(p)}$  стремятся к нулю, что дает возможность удовлетворить ограничениям (2.3) и (2.4) при любых числах

Маха из полуинтервала  $[M_f^{(f)}, \infty)$ .

Особо следует отметить различие в поведении углов поворота в оптимальных для полного давления системах  $S_{1,m}^{(p_0)}$  и  $S_{1,*}^{(p_0)}$ .

Как видно из рис. 2 (кривая 4), характер функции  $\beta_{s,m}(M)$  в системе  $S_{1,m}^{(p_0)}$  качественно не отличается от поведения этой функции в системах  $S_{1,\alpha}^{(\omega)}$ ,  $S_{1,m}^{(\rho)}$  и  $S_{1,m}^{(\nu)}$ . В частности,  $\beta_{s,m} \rightarrow 0$  при  $M \rightarrow \infty$ , что позволяет выполнить ограничения (2.3) и (2.4) при любых числах Маха.

В системе  $S_{1,*}^{(n_0)}$  характер функции  $\beta_{s,*}(M)$  иной. Из рис. 2, а, б (кривая 7) видно, что ограничение (2.3) для функции  $\beta_{s,*}(M)$  выполняется только при малых числах Маха, а ограничение (2.4) не выполняется вообще. Это связано с тем, что в системе  $S_{1,*}^{(n_0)}$  ведет себя немонотонно только угол поворота  $\beta_1$  на первом скачке; он достигает максимума при некотором  $M$  и стремится к нулю при  $M \rightarrow \infty$ . В отличие от  $\beta_1$ , угол поворота потока на замыкающем скачке монотонно возрастает с увеличением  $M$  и стремится к предельному значению [2]

$$\beta_h = \operatorname{arctg} \frac{1 - \varepsilon}{2\sqrt{\varepsilon}} \quad (4.1)$$

( $\beta_h = 45,58^\circ$ ).

Суммарный угол  $\beta_{1,*}$  с ростом  $M$  увеличивается, достигает максимума ( $\beta_{\max} > \beta_h$  (4.1)), а затем стремится к углу  $\beta_h$  сверху (кривая 7 на рис. 2, а).

Отметим, что в области, ограниченной неравенством (2.3), угол поворота потока в оптимальной системе с изоэнтропной волной меньше угла поворота потока в оптимальной системе со скачком уплотнения. Следовательно, система  $S_{1,*}^{(p_0)}$  со скачком уплотнения является неэффективной как при больших значениях  $M$  (по сравнению с системой  $S_{1,m}^{(p_0)}$  с точки зрения ограничений (2.3) и (2.4)), так и при малых (по сравнению с системой  $S_{1,*}^{(p_0)}$  для изоэнтропной волны с точки зрения восстановления полного давления).

Однако в тех технических устройствах, в которых неравенства (2.3) или (2.4) не являются важными, при больших числах Маха целесообразно использовать систему  $S_{1,*}^{(n_0)}$  вместо системы  $S_{1,m}^{(n_0)}$ .

5. Увеличение числа скачков уплотнения ( $n > 1$ ) в оптимальных системах  $S_{n,\sigma}^{(f)}$  качественно не изменяет зависимости от  $M$  суммарных углов поворота потока (см. кривые 5 и 6 на рис. 1, 2, соответствующие системам  $S_{n,\sigma}^{(d)}$ ,  $S_{n,m}^{(\rho)}$  и  $S_{n,m}^{(p_0)}$ , а также кривые 8 и 9, отвечающие системе  $S_{n,*}^{(p_0)}$ , построенные для  $n = 2$  и  $3$  соответственно). С увеличением  $n$  растет  $\beta_{\max}$ , и происходит перемещение положения максимума в область больших чисел Маха. Как и при  $n = 1$ , угол  $\beta_{s,\sigma} \rightarrow 0$  при  $M \rightarrow \infty$  во всех системах с  $n > 1$ , за исключением  $S_{n,*}^{(p_0)}$ , где он стремится к предельному углу поворота (4.1).

Однако имеет место и принципиальное отличие в поведении кривых при  $n = 1$  и  $n > 1$ . Оно заключается в том, что для систем с  $n > 1$  возможно пересечение кривых 5 и 6 с кривыми 2 и 3, соответствующими ограничениям (2.3) и (2.4).

Так, кривая 6 на рис. 2, а, б, отвечающая углу поворота потока в оптимальной для  $p_0$  системе, состоящей из трех косых скачков и замыкающего прямого скачка, в диапазоне  $M \in [1, M_g^{(1)}]$  лежит ниже кривой 2. В точке с  $M = M_g^{(1)}$  (см. таблицу) эти кривые пересекаются, а при  $M > M_g^{(1)}$  суммарный угол поворота потока в оптимальной системе  $S_{3,m}^{(p_0)}$  оказывается больше  $\beta_l(M)$  (рис. 2, б). Это приводит к тому, что при  $M > M_g^{(1)}$  условия

(2.3) и (2.4) не выполняются.

При  $M = M_g^{(2)}$  суммарный угол поворота достигает максимума, затем уменьшается и стремится к нулю при  $M \rightarrow \infty$ . При  $M = M_g^{(3)}$  кривая 6 опять пересекается с кривой 2, а в точке  $M = M_g^{(4)}$  — и с кривой 3 (рис. 2,а). Следовательно, как и при малых  $M$ , для любых значений  $M$  из диапазона  $[M_g^{(4)}, \infty)$  может быть реализована многоскаковая оптимальная система, использующаяся для восстановления полного давления в сверхзвуковых входных диффузорах.

Указанное обстоятельство остается верным и при других значениях  $n$ .

Работа выполнена при финансовой поддержке Фонда по исследованиям в области фундаментального естествознания (код проекта 95-0-4.2-171).

#### ЛИТЕРАТУРА

1. Петров Г. И. Избранные труды. Аэромеханика больших скоростей и космические исследования. М.: Наука, 1992.
2. Герман Р. Сверхзвуковые входные диффузоры. М.: Физматгиз, 1960.
3. Омельченко А. В., Усков В. Н. Оптимальные ударно-волновые системы // Изв. РАН. Механика жидкости и газа. 1995. № 6. С. 118–126.
4. Адрианов А. Л., Старых А. Л., Усков В. Н. Интерференция стационарных газодинамических разрывов. Новосибирск: ВО «Наука». Сибирская издательская фирма, 1995.
5. Абрамович Г.Н. Прикладная газовая динамика. М.: Наука, 1991. Ч. 1.

*Поступила в редакцию 25/XII 1995 г.,  
в окончательном варианте — 20/III 1996 г.*